

наиболее подходят для использования в практических применениях по совершенствованию материалов.

На основе построенных моделей разработан метод, и режимы воздействия электромагнитным полем с заданной симметрией, способствующие самоочистке и совершенствованию кристаллических структур Al_2O_3 , $\text{ZrO}_2(\text{Y}_2\text{O}_3)$ включая отжиг в интервале температур 800–1200 °C длительностью 8–12 часов.

Предлагаемая методика обработки в электромагнитном поле может быть использована для совершенствования механических параметров и формирования однородных, компактных структур различных пористых керамических материалов, катализаторов, адсорбентов, высокотемпературных изоляторов.

Список литературы:

1. Клишин А.П., Закутаев А. Н., Руднев С. В., Ермолаев В. А., Хабас Т. А. Моделирование процесса структурных превращений Al_2O_3 при термомагнитной обработке // Конструкции из композиционных материалов. – 2008. Вып.1, – С.12-17.
2. Руднев С.В., Семухин Б.С., Клишин А.П. Неевклидова теория кристаллического вещества. – Saarbrücken: LAP Lambert Academic Publishing, 2013. – 254 с.
3. Rudnev S.V., Semukhin B.S., Klishin A.P. Geometrical modeling of crystal structures with use of space of elliptic Riemannian geometry // Materials sciences and applications. – 2011. – V.2. – №6. – P.526-536.
4. Кованцев А.С., Клишин А.П., Руднев С.В., Закутаев А.Н. Моделирование кристаллических комплексов алюмооксидных материалов для совершенствования технологии их получения // II Всероссийская научно-техническая конференция молодых ученых, аспирантов и студентов с международным участием «Высокие технологии в современной науке и технике». – Томск, ТПУ – 2013. Т.2. – С. 377-380.

ДИСПЕРГИРОВАНИЕ НАНОЧАСТИЦ В ВОДНЫХ СУСПЕНЗИЯХ

А.С. Комутова, студент гр. 4БМ22

*Томский политехнический университет, 634050, г.Томск, пр.Ленина,30,
тел.(3822)-419-147*

E-mail: ainagul_komutova@mail.ru

Одной из самых важных задач при аттестации нанопорошков является определение их дисперсности. Среди всех методов дисперсионного анализа нанопорошков в последнее время выделяется метод лазерной дифракции: он прост в применении и не занимает много времени. Однако к его недостатку можно отнести то, что методика включает обязательное перемешивание образца с жидкостью супензии. При попадании в водные супензии твердые частицы образуют лиофобные дисперсные системы, для которых может быть характерна как самопроизвольная коагуляция, так и способность сохранять высокую степень дисперсности (агрегативную устойчивость). На практике для поддержания дисперсности нанопорошков используют диспергирование.

Диспергирование твердых частиц достигается разными методами: ультразвуковым воздействием, длительным перемешиванием, применением стабилизаторов [1, 2]. Среди всех перечисленных методов только с помощью добавления поверхностно-активных веществ можно длительно поддерживать дисперсность супензий.

В литературе имеются данные о применении карбоксильных групп в качестве стабилизаторов при синтезе наночастиц [3, 4]. Поэтому разработка методик определения дисперсности наночастиц с применением карбоновых кислот является достижимой задачей. **Целью данного исследования** являлось определение влияния концентрации ПАВ на дисперсность промышленных нанопорошков.

Объектом исследования являлся нанопорошок Y_2O_3 , полученный плазмохимическим методом, применение которого достаточно активно возрастает во многих отраслях промышленности: керамике, эксплуатируемой при высоких температурах, радиоэлектронике, устройствах для лазерных источников [5].

В таблице 1 представлены характеристики исследуемого порошка.

Таблица 1. Размерные характеристики порошка Y_2O_3 .

Нанопорошок	Метод низкотемпературной адсорбции азота (Sorbi)		Сканирующая электронная микроскопия (JEM 2100F)	
	Удельная поверхность, $\text{м}^2/\text{г}$	Средний размер частиц, нм	Средний размер частиц, нм	Средний размер агрегатов, нм
Y_2O_3	35,63	35	36	110

При проведении анализа размеров частиц методом лазерной дифракции 40 мг исследуемого порошка помещалась в ванну смесителя со стабилизатором и в течение 5 мин диспергировалась при помощи ультразвуковой установки с целью разделения агрегатов на частицы. В качестве стабилизатора супензии использовали лимонную кислоту ($\text{C}_6\text{H}_8\text{O}_7$) с разной концентрацией: 0... 50 г/л. Для определения размеров частиц нанопорошка использовался дифракционный анализатор размеров частиц SALD-7101 Shimadzu, принцип работы которого основан на статическом рассеянии лазерного света с длиной волны $\lambda=375$ нм.

Результатом измерения являлась кривая распределения частиц по размерам. Полученные экспериментальные результаты использовали для расчета среднего размера частиц по формуле:

$$d_{cp} = \sum d \frac{q(\%)}{100 (\%)},$$

где d_{cp} – средний объемный диаметр частиц; d – размер частиц в дисперсии; q – дифференциальное распределение частиц в дисперсии, %.

На рис. 1 представлена фотография порошков Y_2O_3 , сделанные с помощью сканирующей электронной микроскопии. Частицы имеют преимущественно хлопьевидную форму.

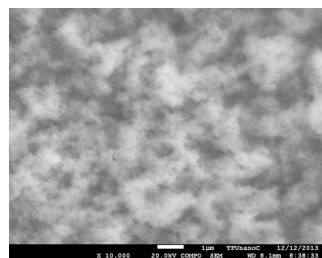


Рис. 1. Фотография СЭМ нанопорошка Y_2O_3 .

В таблице 2 представлено изменение среднего размера частиц/агломератов нанопорошка в суспензиях с разным содержанием ПАВ в течение 5 минутного контакта.

Таблица 2. Изменение среднего диаметра частиц/агрегатов нанопорошка Y_2O_3 .

Концентрация	0 г/л	1 г/л	10 г/л	50 г/л
d_{cp} , мкм	4,58	1,51	1,44	1,39

Обнаружено, что даже небольшие добавки стабилизатора (1 мг/л) в водную суспензию нанопорошка приводят к уменьшению d_{cp} в 3 раза. Однако, при дальнейшем увеличении концентрации ПАВ не создаются условия, при которых бы облегчалась диффузия карбоксильных групп к поверхности каждой частицы и усиливалась дезагрегация образовавшихся в водной суспензии агрегатов наночастиц Y_2O_3 .

Выражаю благодарность научному руководителю к.т.н. Годымчуку А.Ю.

Список литературы:

1. Farre M., Gajda-Schrantz K., Kantiani L., Barcelo D.. Ecotoxicity and analysis of nanomaterials in the aquatic environment // Analytical and Bioanalytical Chemistry. – 2009. – №. 393. – P. 81-95.
2. Studart A.R., Amstad E., Gauckler L.J. Colloidal Stabilization of Nanoparticles in Concentrated Suspensions // Langmuir. – 2007. – Vol.23. – P. 1081-1090.
3. Canlica M., Nyokong T. Synthesis and photophysical properties of metal free, titanium, magnesium and zinc phthalocyanines substituted with a single carboxyl and hexylthio groups // Polyhedron. – 2011. – № 30. – P. 1975-1981.
4. Zhang L., Wen Y., Yao Y., Xu J., Duan X., Zhang G. Synthesis and Characterization of PEDOT Derivative with Carboxyl Group and Its Chemo/Bio Sensing Application as Nanocomposite, Immobilized Biological and Enhanced Optical Materials // Electrochimica Acta. – 2014. – № 116. – P. 343-354.
5. Serantoni M., Mercadelli E., Costa A., Blosi M. Microwave-assisted polyol synthesis of sub-micrometer Y_2O_3 and $\text{Yb}-\text{Y}_2\text{O}_3$ particles for laser source application // Ceramics International. – 2010. – № 36. – P. 103-106.